DOI: 10.3969/j.issn.1005-8982.2019.12.027 文章编号: 1005-8982 ( 2019 ) 12-0125-02

病例报告

## 产前超声诊断法洛四联症并马蹄肾 1 例 \*

黄敏, 冯伟, 张加琪, 安鹏, 曾鹤, 王瑜

(湖北医药学院附属襄阳市第一人民医院 超声影像科,湖北 襄阳 441000)

关键词: 四联症;肾疾病;产前诊断;超声检查

中图分类号: R445.1

文献标识码: D

法洛四联症(tetralogy of fallot, TOF)主要包括肺动脉狭窄、主动脉骑跨、室间隔缺损及右心室肥厚。马蹄肾(horseshoe kidney, HSK)并非罕见的实体,其发病率约为一般人群的 1/400。与女性相比,男性更为常见。本文就产前超声诊断法洛四联症并马蹄肾报道如下。

## 1 临床资料

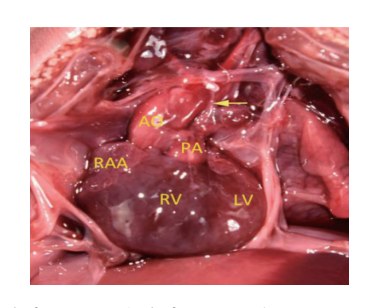
27岁女性,孕27周1d,初孕,无业人员,既往 体健, 无特殊家族史, 唐氏筛查未见异常。超声检查: 室间隔上部可见约 0.47 cm 连续中断。主动脉骑跨于 室间隔上, 骑跨率约60%~80%。主动脉瓣口内径 0.46 cm, 升主动脉内径 0.46 cm。弓降部可显示, 肺 动脉瓣瓣叶增厚, 回声增强, 开放稍受限。肺动脉瓣 上较宽处内径约 0.34 cm, 较窄处内径约 0.18 cm, 左、 右肺动脉内径分别约 0.12 和 0.13 cm。主动脉与肺动 脉起始段呈平行走行,动脉导管内径 0.14 cm,导管弓 显示欠清晰。彩色多普勒表现室间隔中断处可见左向 右为主双向分流信号,双肾位置异常。其中右肾稍下 移,左肾于膀胱上方横卧于脊柱前方,两者紧密相邻, 界限欠清晰, 其中偏左侧大小约 2.5 cm×1.8 cm, 偏右 侧大小约 2.5 cm×1.6 cm×1.8 cm, 双侧肾上腺"平卧" (见图1)。超声提示:①胎儿双肾位置异常(马蹄肾 可能);②室间隔缺损;③主动脉骑跨;④肺动脉瓣 狭窄;⑤肺动脉及分支狭窄;⑥右室双出口(法洛四 联症)。经产前咨询,孕妇选择终止妊娠,行利凡诺羊膜腔穿刺引产,自愿捐献引产的胎儿。胎儿尸检显示:①主动脉增粗,直径0.7 cm;②肺动脉狭窄,直径0.6 cm(见图2);③右室双出口;④右心室肥厚;⑤马蹄肾,肾脏一体,大小约为3.5 cm×3 cm×0.7 cm(见图3);⑥右侧肾上腺平卧位。





K: 肾脏

图 1 双肾位置异常,左右肾界限不清

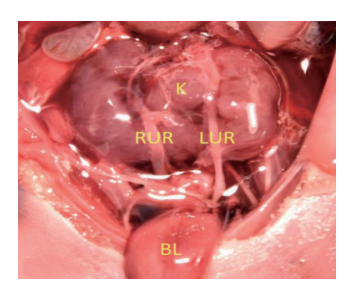


AO: 主动脉; PA: 肺动脉; RV: 右心室; RAA: 右心耳; LV: 左心室。黄色箭头疑似动脉导管

图 2 胎儿尸检

收稿日期:2018-12-15

\*基金项目:湖北省自然科学基金(2015CFC810) [通信作者]王瑜, E-mail: 347235272@qq.com



K: 肾; RUR: 右输尿管; LUR: 左输尿管; BL: 膀胱图 3 马蹄肾

## 2 讨论

TOF 主要包括肺动脉狭窄、主动脉骑跨、室间隔缺损及右心室肥厚,其在活产婴儿中的发病率约为 1/3 600,在发绀型先天性心脏病中 TOF 约占 50%,TOF 的发病率占先天性心脏病的 12%<sup>[1]</sup>。TOF 是胚胎发育时期漏斗部间隔发生移位和旋转所导致的<sup>[1]</sup>。HSK 并非罕见的实体,其发病率约为一般人群的1/400 或 0.25%。与女性相比,男性更为常见,比例为2:1<sup>[2-3]</sup>。HSK 发生于胚胎发育 5~8 周后,是肾组织在腹部大血管分叉处相互靠近,左右肾的下极由峡部连接所致的先天肾畸形,形似"马蹄"<sup>[4-6]</sup>。本病例为TOF 合并 HSK,因未做染色体检查,无法得知两者是否合并有染色体变异,若两者均合并有染色体变异,两者间是否有关联还有待研究。

本病例尸检结果与超声结果一致, 二维超声心动

图可清晰显示肺动脉狭窄、室缺、主动脉"骑跨现象"、右心室肥厚,多普勒超声心动图则可清晰观察到室缺、主动脉、肺动脉及其分支的血流信号,可以从多方面判断胎儿是否存在 TOF。马蹄肾双肾融合处为低回声的肾实质或结缔组织,与肠管相似,再受胎儿体位影响,易漏诊,但可结合多切面扫查、血流情况、该处形态加以区分。产前超声作为一种准确、无创、安全及直观的方法,是诊断胎儿先天畸形的重要手段,能为临床医生提供可靠的影像学诊断,为患者提供可靠的产前咨询。

## 参考文献:

- [1] SHINEBOURNE E A, BABUNARAYAN S V, CARVALHO J S. Tetralogy of fallot: from fetus to adult[J]. Heart, 2006, 92(9): 1353.
- [2] 曹喆,蔡爱露,孙微.应用三维超声断层成像技术产前诊断胎儿 马蹄肾[J].中国超声医学杂志,2017(4): 325-328.
- [3] AGARWAL S, YADAV R N, KUMAR M, et al. Horseshoe kidney with unilateral single ectopic ureter[J]. Bmj Case Reports, 2018, 2018: bcr-2017-223913.
- [4] 陈小辉, 戴渝萍, 夏洪彬, 等. 胎儿马蹄肾产前超声多切面扫查 及动态观察与图像分析 [J]. 中华医学超声杂志: 电子版, 2016, 13(11): 861-864.
- [5] RENZULLI J F, BORROMEO J R, BARKHORDARIAN S, et al. Abdominal aortic aneurysm in association with a congenital pelvic horseshoe kidney: sentinel report and technical consideration[J]. Vascular Medicine, 2003, 8(3): 197-199.
- [6] 欧阳春艳,尚宁,马小燕,等.胎儿融合肾的产前超声诊断[J]. 中国临床医学影像杂志,2018,29(2):142-143.

(唐勇 编辑)

第29卷